

رفتار غیر ارتجاعی ستونهای بتن تحت تأثیر بارهای تناوبی مبنی بر چسبندگی و زاویه اصطکاک داخلی بتن

عباسعلی تسنیمی^{*}، مجید فرزین^{*}

۱- دانشیار گروه سازه، دانشکده فنی و مهندسی، دانشگاه تربیت مدرس

۲- دانشجوی کارشناسی ارشد، دانشکده فنی و مهندسی، دانشگاه تربیت مدرس

* تهران، صندوق پستی ۱۴۱۱۵-۱۴۳

tasnimi@modares.ac.ir

(دریافت مقاله: مهر ۱۳۸۲، پذیرش مقاله: خرداد ۱۳۸۴)

چکیده- در این مقاله با استفاده از روش‌های عددی رفتار غیر ارتجاعی- تناوبی ۹ ستون بتن مسلح با آرماتور گذاریهای مختلف و تحت بار گذاری تناوبی، در قلمرو ارتجاعی و غیر ارتجاعی بررسی شده و منحنی‌های رفتار به دست آمده برای نمونه‌ها، با نتایج آزمایشگاهی مقایسه شده است. در این تحقیق از دو عامل مهم و مؤثر خواص مکانیکی بتن یعنی چسبندگی و زاویه اصطکاک داخلی، برای بررسی رفتار نمونه‌ها استفاده شده است. برای به دست آوردن این دو عامل، با در دست داشتن مقاومت فشاری بتن و هم‌چنین با استفاده از رابطه‌ای که در این تحقیق و بدین منظور ارائه شده، می‌توان استفاده کرد. نتایج به دست آمده نشان می‌دهد که مدل رفتاری برای تمامی مراحل باربرداری و بارگذاری مجدد، تحت تأثیر منحنی کامل تنش-کرنش بتن خالص قرار دارد.

کلید واژگان: بار یکنوا، باربرداری، بارگذاری مجدد، بار تناوبی، چسبندگی، زاویه اصطکاک داخلی، رفتار غیر ارتجاعی.

مسلح کننده، منحنی تنش-کرنش بتن تحت بار یکنواخت را به شکل گرافیکی نمایش دهد. کلیسون [۷] با استفاده از روش اجزای محدود، از نرم افزار ABAQUS برای تحلیل ستون بتنی مسلح استفاده کرده و نتیجه گرفته است که فاصله خاموت‌ها و هندسه قرارگیری میلگردهای طولی در رفتار و شکل پذیری بتن مسلح بسیار مؤثرند مقاومت نهایی میلگردهای طولی، در رفتار بعد از نقطه نظیر تنش حد اکثر، اثر کمتری دارند. همچنین ماداس و الناشی [۸] یک مدل جدید برای منحنی تنش-کرنش بتن مسلح ارائه کرده‌اند، این مدل تغییرات ضریب پواسون در طول بارگذاری را در نظرمی‌گیرد. این تحقیق با استفاده از نرم افزار ANSYS [۹] که مبنی

۱- **مقدمه**
در زمینه بررسی و تعیین مدل رفتاری بتن و اعضای بتن مسلح، تحقیقات قابل توجهی توسط محققانی مانند مندر و همکاران [۱]، ازومری و شیخ [۲]، کاوشیما و ساکایی [۳]، رین آرت و یانکلو فسکی [۴] و هسو و بان [۵] انجام شده و مدل‌هایی برای رفتار بتن تحت بار یکنوا، لرزه‌ای و تناوبی ارائه شده است. استفاده از روش اجزای محدود برای بررسی رفتار ستونهای بتن مسلح در دستور کار بسیاری از این تحقیقات بوده است. یاسلین و ساج اوغلو [۶] برای تحلیل غیر ارتجاعی ستون بتنی مسلح برنامه‌ای به نام COLA ارائه کرده‌اند که می‌تواند با اطلاع داشتن از هندسه ستون و همچنین ویژگیهای بتن و فولاد

روابط این معیار عبارتند از:

$$f(I_1, J_2) = \alpha I_1 + \sqrt{J_2} - k = 0$$

$$f(\xi, \rho) = \sqrt{6}\alpha\xi + \rho - \sqrt{2}k = 0$$

$$\rho = \sqrt{2J_2}, \quad \xi = \frac{I_1}{\sqrt{3}}$$

اندازه مخروط با دو ثابت α و k تعیین می‌شود.
در حالت فشاری ($\theta = 60^\circ$):

$$\alpha = \frac{2\sin\phi}{\sqrt{3}(3-\sin\phi)}, \quad k = \frac{6c \cos\phi}{\sqrt{3}(3-\sin\phi)}$$

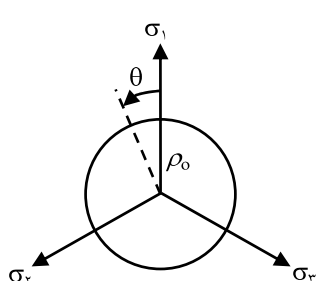
در حالت کششی ($\theta = 0^\circ$):

$$\alpha = \frac{2\sin\phi}{\sqrt{3}(3+\sin\phi)}, \quad k = \frac{6c \cos\phi}{\sqrt{3}(3+\sin\phi)}$$

ضریبها c و ϕ به ترتیب عبارتند از چسبندگی و زاویه اصطکاک داخلی بتن.

۳- مشخصات نمونه‌های مورد مطالعه

در این تحقیق یک ستون کوتاه بتن مسلح به ابعاد mm $1000 \times 250 \times 250$ و مت Shank از $\Phi 20 mm$ به عنوان میلگرد های میلگرد های طولی و $\Phi 8 @ 100 mm$ به عنوان میلگرد های عرضی- که بر مبنای ضوابط آیین نامه بتن ایران (آبآ) طراحی شده بود- در نظر گرفته شد.

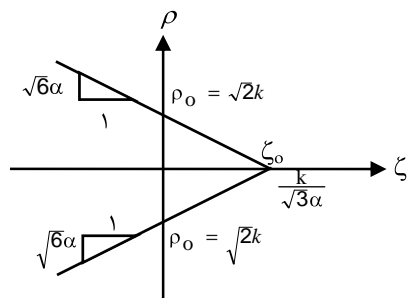


ب- صفحه π

بر روش اجزای محدود است، نمونه های ستون بتن مسلح را که قبلا در یک مطالعه آزمایشگاهی مورد بررسی و تحقیق قرار گرفته، مدل سازی کرده و با توجه به دو عامل مهم چسبندگی و زاویه اصطکاک داخلی بتن، رفتار ارجاعی و غیر ارجاعی آنها را تحت بارهای تناوبی (شبی لرزه ای) بررسی کرده است. در این بررسی منحنی رفتار بتن مسلح به روش تحلیل عددی به دست آمده است.

۲- مبانی نظری

با توجه به مبانی نظری در قلمرو پلاستیسیته، می توان مقاومت اجزای بتنی را با در نظر گرفتن اندرکش مؤلفه های مختلف تانسور تنش تعیین کرد. از طرفی معیارهای گسیختگی که در حالت کلی و سه بعدی، تابعی از تانسور هستند، در بررسی رفتار مصالح برای شرایطی که به گسیختگی یا شکست منجر می شود، مورد استفاده قرار می گیرند. پس از بررسی معیارهای مختلفی که برای گسیختگی بتن می توان به کار گرفت، در این بررسی معیار گسیختگی دراکر- پراگر در نظر گرفته شده است. بر اساس این معیار که شکل تعمیم یافته معیار فون- میزز است، سطح گسیختگی به شکل مخروطی است که نصف النهارها و مقاطع عرضی آن در صفحه π -Plane (Plane π) قرار دارد (شکل ۱).



الف- صفحه نصف النهار $\theta=0^\circ$

شکل ۱- معیار دراکر- پراگر (شکل تعمیم یافته معیار فون- میزز)

۴- مدل سازی عددی

همانگونه که ذکر شد در این تحقیق برای بررسی و تحلیل عددی نمونه های ستون بتن مسلح، از نرم افزار ANSYS استفاده شده است. در این بررسی برای مدل سازی بتن غیر مسلح، از المان SOLID45 و برای مسلح کردن نمونه ها از المان LINK8، و از معیار دراکر- پراگر برای گسیختگی المان SOLID45 استفاده شده است. با انتخاب این معیار برای رفتار بتن، دو پارامتر اساسی یعنی چسبندگی (c) و زاویه اصطکاک داخلی (ϕ) باید تعریف شوند. از این رو ضرورت دارد تا این دو عامل مهم به نحو مطلوبی تعیین شوند. برای یافتن این دو عامل روش های مختلفی وجود دارد، متداول ترین روش، انجام آزمایش سه محوری بر روی نمونه های بتن خالص است. اما به علت محدودیت امکانات آزمایشگاهی، استفاده از این روش در تحقیق آزمایشگاهی میسر نشد اما روش های دیگری وجود دارد که نتایج به دست آمده از آنها قابل اعتماد است. ذیلاً روش هایی که در این تحقیق برای تعیین c و ϕ استفاده شده اند مختصراً تشریح می شود.

در مطالعه آزمایشگاهی، مدل این ستون در مقیاس ۳/۵ طراحی و ساخته شد. نه نمونه مسلح از مدل های مقیاس شده با آرایش های مختلف فولاد گذاری و با نام گذاری CTL3، CTL2، CTL1 (از هر یک چهار نمونه) و CP (یک نمونه) و چهار نمونه بدون آرماتور با نام CP برای بررسی اثر محصور کردن و اثر شکلهای مختلف آرماتور های عرضی بررسی شده است. مشخصات و جزئیات سیزده نمونه فوق در جدول ۱ آورده شده است. لازم است توضیح دهیم که کلیه ضوابط مربوط به آبا [۱۰] و قواعد مدل سازی در نمونه های مقیاس شده رعایت شده است. بنابراین اختلاف فاصله خاموت ها بین نمونه ها، ناشی از رعایت همین ضوابط است تا از این طریق، ضمن معادل بودن با نمونه اصلی، اثر آرایش و توزیع میلگردها بر میزان محصور کردن آنها بهتر مشخص شود. یاد آوری می شود که در نام گذاری نمونه ها حروف اول تا سوم به ترتیب جایگزین ستون (C)، میلگردهای عرضی (T) و میلگردهای طولی (L) بوده و عدد آخر مشخص کننده گروه اول تا سوم است. در مورد نمونه های CP نماد (P) به کار رفته است [۱۱].

جدول ۱ مشخصات و جزئیات مقطع نمونه های ستونی مورد آزمایش

عرضی	تعداد میلگردهای طولی		بعض نمونه (mm)	شکل مقطع	نمونه
	تعداد	درصد			
Φ۶@۹cm	۴ Φ۱۲	۲/۰۱	۱۵۰×۱۵۰×۶۰۰		CTL۱
Φ۶@۷/۵cm	۴ Φ۱۲	۲/۰۱	۱۵۰×۱۵۰×۶۰۰		CTL۲
۲ Φ۶@۱۷/۵cm	۱۶ Φ۶	۲/۰۱	۱۵۰×۱۵۰×۶۰۰		CTL۳
----	----	----	۱۵۰×۱۵۰×۶۰۰		CP

منحنی جداگانه نشان داده شده است. همانطور که از شکل ۲ مشخص است، با افزایش مقاومت، c و ϕ افزایش می‌یابند. نرخ افزایش c برای نتایج آزمایش، بسیار نزدیک به نتایج ACI و CEB است در حالی که برای ϕ ، نرخ افزایش آزمایش بیشتر از نتایج ACI و CEB است اما این اختلاف چندان چشمگیر نیست. بنابراین مقدار c و ϕ به دست آمده، از دقت لازم برخوردار است.

۴-۲- روش دوم

با انجام آزمایش مقاومت فشاری تک محوری بر روی نمونه‌های بتن غیر مسلح و انداره‌گیری زاویه شکست مربوط می‌توان از روابط (۲) استفاده کرد و مقدار تنش نرمال و برشی را روی سطح شکست نمونه به دست آورد .[۱۴]

۴-۱- روش اول

در این روش با استفاده از روابط مور-کولمب، با داشتن مقاومت فشاری و کششی بتن می‌توان با استناد به روابط سه گانه (۱) مقدار c و ϕ را تعیین کرد.

$$f_c = \frac{2c \cos \phi}{1 - \sin \phi} \quad (\text{الف})$$

$$f_{ct} = \frac{2c \cos \phi}{1 + \sin \phi} \quad (1)$$

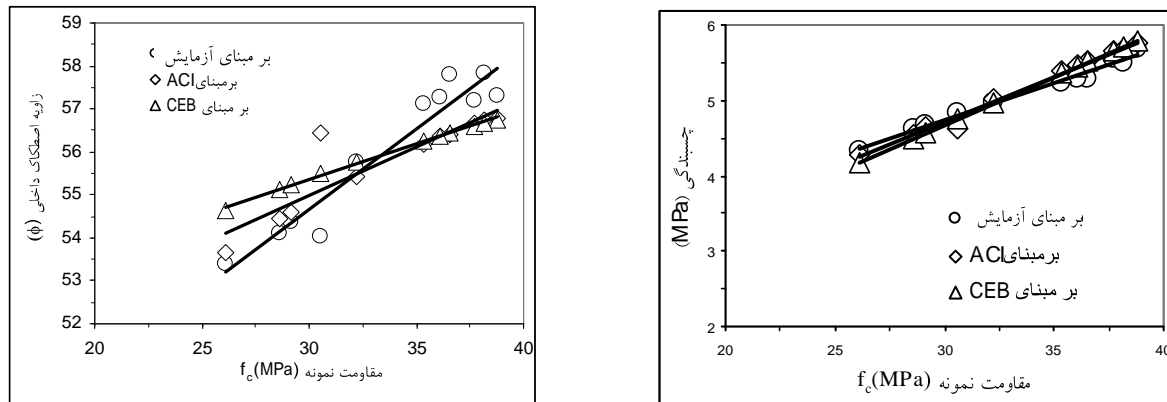
$$\sin \phi = \frac{f_c - f_{ct}}{f_c + f_{ct}} \quad (\text{ج})$$

بنابراین با داشتن مقاومت فشاری و کششی استوانه‌های نظری هر یک از نمونه‌های آزمایشی و همچنین با استفاده از روابط ACI [۱۲] و CEB [۱۳]، برای محاسبه مقاومت کششی بر حسب مقاومت فشاری، مقدار c و ϕ آنها مطابق جدول ۲ به دست می‌آید.

در شکل ۲ تغییرات c و ϕ بر حسب مقاومت، در دو

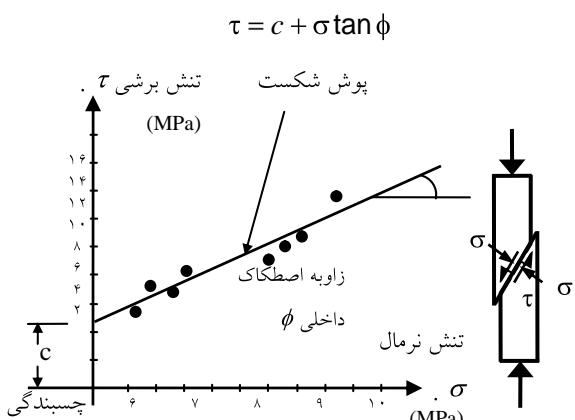
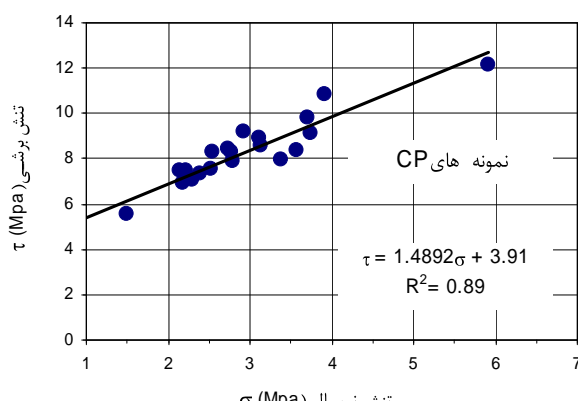
جدول ۲ مقادیر c و ϕ نمونه‌ها بر مبنای نمونه‌های استوانه‌ای و روابط مور-کولمب

مق بنای رابطه (۱)						نتایج آزمایش نمونه‌های استوانه‌ای				نمونه آزمایشی			
بر اساس CEB		بر اساس ACI		بر اساس آزمایش		مقاومت کششی	حد اکثر مقاومت فشاری						
							کرش	تش					
ϕ	$c(\text{MPa})$	ϕ	$c(\text{MPa})$	ϕ	$c(\text{MPa})$	$f_{ct} (\text{MPa})$	e_o	$f'_c (\text{MPa})$	استوانه	CTL۱	اصلی		
۵۶/۷۶	۵/۷۹	۵۶/۸۷	۵/۷۷	۵۷/۲۹	۵/۶۹	۳/۳۴	۰/۰۰۲۷۰	۳۸/۷۸	۱				
۵۶/۴۵	۵/۵۱	۵۶/۴۲	۵/۵۲	۵۷/۷۸	۵/۲۸	۳/۰۵	۰/۰۰۲۷۹	۳۶/۵۷	۲				
۵۶/۳۸	۵/۴۵	۵۶/۳۵	۵/۴۶	۵۷/۲۸	۵/۲۹	۳/۱۱	۰/۰۰۲۵۹	۳۶/۰۸	۳				
۵۶/۶۱	۵/۶۵	۵۶/۶۷	۵/۶۵	۵۷/۱۸	۵/۵۵	۳/۲۷	۰/۰۰۲۹۰	۳۷/۷۱	۱				
۵۶/۲۷	۵/۳۶	۵۶/۱۶	۵/۳۸	۵۷/۱۱	۵/۲۲	۳/۰۸	۰/۰۰۲۸۰	۲۵/۳۴	۲	CTL۲			
۵۵/۱۳	۴/۴۹	۵۴/۴۶	۴/۵۵	۵۴/۱۲	۴/۶۳	۳/۰۰	۰/۰۰۲۲۸	۲۸/۶۲	۳				
۵۵/۷۸	۴/۹۶	۵۵/۴۴	۵/۰۲	۵۵/۷۵	۴/۹۷	۳/۰۶	۰/۰۰۲۳۶	۳۲/۲۴	۱				
۵۵/۲۳	۴/۰۶	۵۴/۵۸	۴/۶۵	۵۴/۳۶	۴/۶۸	۳/۰۱	۰/۰۰۱۹۷	۲۹/۱۳	۲	CTL۳			
۵۵/۴۹	۴/۷۵	۵۶/۴۴	۴/۶۱	۵۴/۹۴	۴/۸۳	۳/۰۵	۰/۰۰۱۹۰	۳۰/۰۷	۳				
۵۴/۶۳	۴/۱۶	۵۳/۶۸	۴/۲۸	۵۳/۳۸	۴/۳۲	۲/۸۶	۰/۰۰۱۵۱	۲۶/۱۲	۱				
۵۶/۶۷	۵/۷۱	۵۶/۷۶	۵/۶۹	۵۷/۸۴	۵/۵۰	۳/۱۷	۰/۰۰۲۹۲	۳۸/۱۶	۲	CP			
۵۵/۹۵	۵/۱۳	۵۵/۸۰	۵/۱۵	۵۶/۰۹	۵/۰۹	میانگین							

شکل ۲ رابطه بین مقاومت فشاری به ترتیب با c و ϕ برای نمونه‌های استوانه‌ای

آنها وارسی شود که ذیلاً شرح آن آورده می‌شود.

$$\tau = 1/4892\sigma + 3/91 \quad (13)$$

شکل ۳ آزمایش مقاومت فشاری تک محوری همراه با شکست
برشی بتونشکل ۴ رابطه بین c و ϕ برای نمونه‌های غیر مسلح از آزمایش مقاومت فشاری تک محوری

$$\sigma = \frac{P_y \cos^2 \alpha}{A} \quad (\text{الف}) \quad (2)$$

$$\tau = \frac{P_y \sin \alpha \cos \alpha}{A} \quad (\text{ب})$$

در این رابطه P_y نیروی محوری در مرز جاری شدن، A سطح مقطع نمونه و α زاویه شکست با افق است. با استفاده از نتایج آزمایش بر روی نمونه‌های بتونی و ترسیم تنشهای نرمال در مقابل تنشهای برشی، می‌توان ϕ را به دست آورد. شیب خط ترسیم شده برابر ϕ و عرض از مبدأ آن برابر c است (شکل ۳).

بر مبنای این روش و با استفاده از زاویه شکست ۲۱ نمونه ستون غیر مسلح، نتیجه به دست آمده برای مقادیر σ و τ از آزمایش فشار تک محوری در شکل ۴ ترسیم و با استفاده از بهترین خط برآش شده با ضریب همبستگی مقادیر c و ϕ_c از رابطه (۳) قابل محاسبه است که نتایج در جدول ۳ آورده شده است.

این نتایج با مقادیر محاسبه شده از روابط مور-کولمب (c_c و ϕ_c) مقایسه شده است. چنانچه از این جدول مشخص است اختلاف بین نتیجه به دست آمده از رابطه (۳) و میانگین نتایج حاصل از روابط مور-کولمب برای مقادیر c و ϕ به ترتیب برابر ۲۱ و ۱۰ درصد است.

از آنجا که رفتار غیر ارجاعی نمونه‌های بتونی مسلح در تحلیل عددی از حساسیت بالایی برخوردار است برای تخمین مقدار صحیح c و ϕ لازم است به طریقی مقدار

جدول ۳ مقایسه مقادیر c و ϕ بر مبنای نتایج آزمایش و رابطه مور-کولomb

نتایج تحلیل عددی		مور-کولومب		f_{ct} (MPa)	f_c (MPa)	نیروی فشاری (kN)	نمونه ستون غیر مسلح
ϕ_A (درجه)	c_A (Mpa)	ϕ_c (درجه)	c_c (Mpa)				
۵۳/۹۳	۲/۸۰	۵۱/۵۸	۳/۴۸	۳/۱۷	۳۰/۷۲	۶۹۱/۲۳	۱
۵۴/۸۲	۴/۴۶	۵۵/۳۶	۳/۳۰	۳/۰۵	۲۶/۹۱	۸۳۰/۴۰	۲
۵۳/۵۶	۳/۵۳	۴۹/۹۵	۳/۵۱	۳/۱۸	۲۸/۱۷	۶۳۳/۷۵	۳
۵۳/۲۵	۳/۳۱	۴۸/۶۷	۳/۵۰	۳/۱۵	۲۶/۰۶	۵۷۶/۲۵	۴
۵۳/۶۰	۳/۵۶	۵۰/۹۰	۳/۳۶	۳/۰۵	۲۸/۴۶	۶۴۰/۲۸	۵
۵۵/۹۲	۵/۲۷	۵۷/۶۹	۳/۴۰	۳/۱۷	۴۴/۴۶	۱۰۰۰/۲۸	۶
۵۵/۱۸	۴/۷۳	۵۵/۸۰	۳/۴۲	۳/۱۷	۳۹/۴۰	۸۸۶/۰۹	۷
۵۴/۵۵	۴/۲۶	۵۴/۵۰	۳/۳۱	۳/۰۵	۳۵/۰۲	۷۸۷/۹۳	۸
۵۴/۳۶	۴/۱۳	۵۳/۸۸	۳/۳۲	۳/۰۵	۳۳/۷۴	۷۵۹/۱۹	۹
۵۴/۲۶	۴/۰۵	۵۳/۶۹	۳/۲۹	۳/۰۲	۳۳/۰۴	۷۴۳/۵۰	۱۰
۵۴/۲۲	۴/۰۲	۵۳/۳۶	۳/۳۳	۳/۰۵	۳۲/۷۳	۷۳۶/۳۲	۱۱
۵۵/۲۱	۴/۷۴	۵۵/۸۶	۳/۴۲	۳/۱۷	۳۹/۵۵	۸۸۹/۸۶	۱۲
۵۴/۰۶	۳/۹۰	۵۲/۷۷	۳/۳۳	۳/۰۵	۳۱/۶۲	۷۱۱/۵۰	۱۳
۵۴/۸۵	۴/۴۸	۵۵/۶۰	۳/۲۶	۳/۰۲	۳۷/۰۸	۸۳۴/۳۲	۱۴
۵۵/۱۹	۴/۷۳	۵۵/۸۰	۳/۴۲	۳/۱۷	۳۹/۴۰	۸۸۶/۰۹	۱۵
۵۴/۱۹	۳/۹۹	۵۳/۲۵	۳/۳۲	۳/۰۵	۳۲/۵۳	۷۳۱/۷۵	۱۶
۵۴/۹۳	۴/۰۴	۵۵/۸۵	۳/۲۶	۳/۰۲	۳۷/۶۶	۸۴۷/۳۹	۱۷
۵۵/۳۲	۴/۸۳	۵۶/۱۷	۳/۴۲	۳/۱۷	۴۰/۳۳	۹۰۷/۴۹	۱۸
۵۴/۵۵	۴/۲۶	۵۴/۶۶	۳/۲۸	۳/۰۲	۳۵/۰۲	۷۸۷/۹۳	۱۹
۵۳/۷۵	۳/۶۷	۵۱/۵۵	۳/۳۵	۳/۰۵	۲۹/۵۰	۶۶۳/۷۹	۲۰
۵۳/۴۳	۳/۴۴	۴۹/۲۹	۳/۰۳	۳/۱۹	۲۷/۲۷	۶۱۳/۴۹	۲۱
۵۴/۴۳	۴/۱۸	۵۱/۰۹	۳/۲۱	میانگین	$\phi_e = ۵۶/۱۲$	$c_e = ۳/۹۱$	نتیجه آزمایش:

نتایج به دست آمده از روش فوق باشد- به عنوان داده های ورودی به برنامه ANSYS داده شد، سپس این نمونه ها تحت بارگذاری یکنواخت قرار گرفتند. در صورتی که مقاومت (حداکثر) به دست آمده از هر یک از این نمونه ها به مقدار نظیر به دست آمده در آزمایش نزدیک باشد، نتیجه می شود که مقادیر c و ϕ مربوط به آنها می توانند برای تحلیل نمونه های اصلی به کار روند. در شکل ۵ نمونه مشبندی شده که مورد تحلیل قرار

۴-۳- واردی c و ϕ

برای واردی مقادیر c و ϕ بدست آمده از این روش، ۶۳ نمونه ستون بتی غیر مسلح به ابعاد نمونه های اصلی ($15 \times 15 \times 60\text{cm}$) با برنامه ANSYS مدل سازی و تعریف شد.

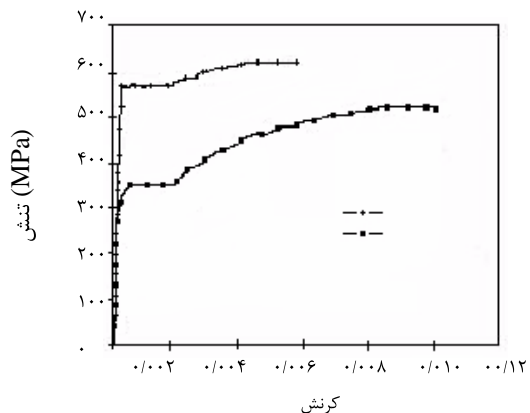
در تحلیل این نمونه ها از معیار دراکر- پراگر برای شکست آنها استفاده شده است و محدوده قابل قبول مقادیر c و ϕ - که در برگیرنده مقادیر بسیار نزدیک به

شده، با مقادیر به دست آمده از روش دوم در جدول ۳ مقایسه شده است. همانطور که نتایج جدول ۳ نشان می‌دهد، مقدار C حاصل از آزمایش، ۶ درصد کمتر از میانگین حاصل از تحلیل عددی و ۲۰ درصد بیشتر از رابطه مور-کولمب است اما مقدار ϕ حاصل از آزمایش، ۳ درصد بیشتر از میانگین حاصل از تحلیل عددی و ۱۰ درصد بیشتر از رابطه مور-کولمب است. بنابراین رابطه (۴) می‌تواند برای تعیین C و ϕ نمونه‌های مسلح اختیار شود:

$$\phi = 0/14! f_c + 49 / 471 \quad (4)$$

$$c = 0/1065 f_c + 0/513$$

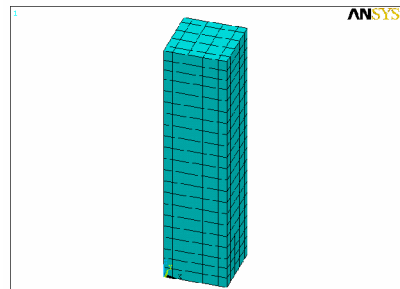
چنانچه اشاره شد برای مدلسازی میلگردها از المان سه بعدی LINK8 استفاده شد که برای تعریف آن باید سطح مقطع المان، مدول الاستیسیته و نسبت پواسون مشخص و همچنین رفتار آن معلوم باشد، به همین منظور معیار سخت شوندگی سینماتیک دو قسمتی (BKIN) برای بیان رفتار فولاد تعریف می‌شود. این مدل، معیار تسلیم فون-میزر همراه با قانون جریان وابسته و سخت شوندگی سینماتیک را در بر دارد. منحنی تنش-کرنش فولاد مصرفی که از آزمایش به دست آمده، در شکل ۷ نشان داده شده است.



شکل ۷ منحنی تنش-کرنش میلگردهای مصرفی برای استفاده در مدل دو خطی

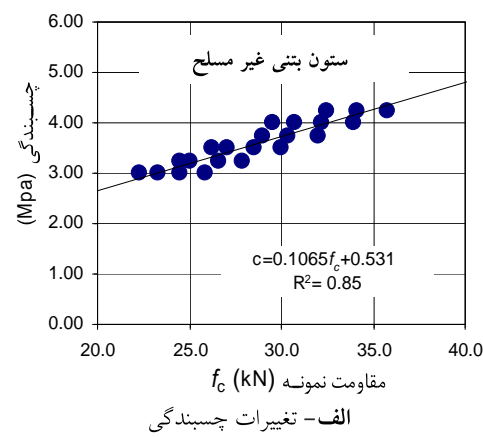
در فرایند مدلسازی، میلگردها با استفاده از المان LINK8

گرفته، نشان داده شده است.

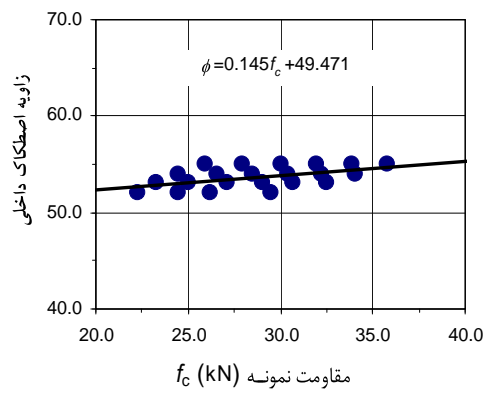


شکل ۵ نمونه استوانه‌ای بتونی غیر مسلح و مشبندی آن

همچنین بهترین منحنی برآورده شده بر نتایج حاصل از این تحلیل عددی برای نمونه‌هایی که حداقل مقاومت آنها به مقدار نظیر به دست آمده در آزمایش نزدیک بود (نمونه‌های منتخب) در شکل ۶ نشان داده شده است.



الف- تغییرات چسبندگی

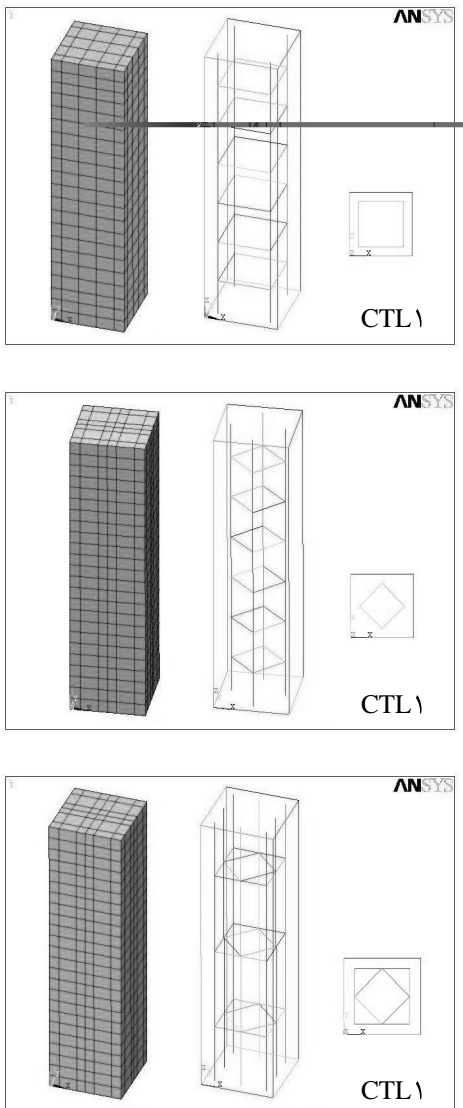


ب- تغییرات زاویه اصطکاک داخلی

شکل ۶ تغییرات c و ϕ نسبت به مقاومت نمونه منتخب ستونهای بتونی غیر مسلح

مقادیر c و ϕ که بر حسب مقاومت از روابط (۴) محاسبه

داده‌ها زمان زیادی را به خود اختصاص ندهد.



شکل ۸ المان بندی و نحوه قرار گرفتن میلگردها در نمونه‌های ستونی

نمونه‌های CTL1، CTL2 و CTL3 تحت بارگذاریهای تناوبی منظم قرار گرفته است. به این ترتیب که در هر گام، بار به میزان معینی اعمال شده و در گام بعدی بار برداشته می‌شود و به صفر می‌رسد. تغییرات بار و تعداد گامهای اعمال آن در شکل های ۹-الف تا ۹-ج نشان داده شده است.

بر روی یالهای المانهای SOLID45 قرار داده و دو انتهای آنها به گره‌های گوشه بسته شد. از طرفی گره‌های بالا و پایین ستونها باید طوری تغییر شکل پیدا کنند که اثر فک‌های صلب دستگاه اعمال بار(هنگام آزمایش) بر روی آنها شبیه‌سازی شود. به همین منظور گره‌های پایین ستونها در جهت قائم کاملاً مقید شده و تغییر مکان آنها در این جهت برابر صفر است. گره‌های بالا نیز در جهت قائم به هم وابسته شده و تغییر مکان قائم همه آنها برابر است. در نتیجه با اعمال بار به یک نقطه از سطح فوقانی ستون، این بار به تمام نقاط منتقل می‌شود. با توجه به این تمهدات می‌توان سطوح فوقانی و تحتانی ستون را صلب در نظر گرفت. جایه‌جایی افقی گره‌های بالا و پایین نمونه‌ها در فایل ورودی ANSYS برابر صفر در نظر گرفته شده است. شکل هندسی، نحوه المان بندی و میلگرد گذاری هر یک از نمونه‌های CTL1، CTL2 و CTL3 در شکل

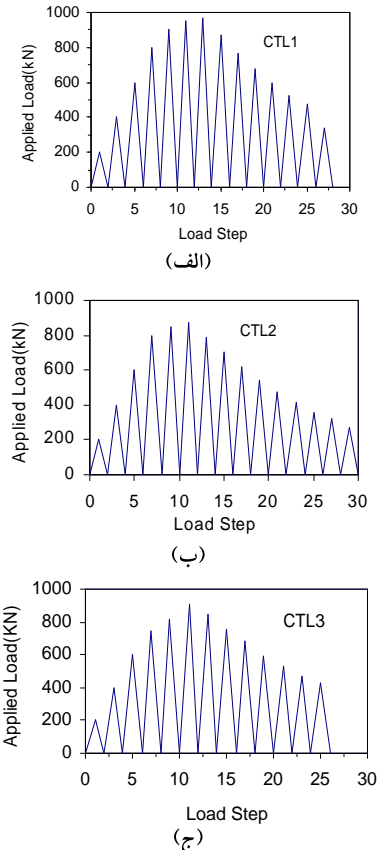
۸ نشان داده شده است [۱۵].

۵- بارگذاری

در نرم افزار ANSYS با توجه به اینکه مدلسازی‌ها با استفاده از پلاستیسیته غیر وابسته انجام شده، سرعت بارگذاری، تأثیری بر نتایج ندارد اما نکته قابل تأمل این است که در نرم افزار، هر چه تعداد زیرگامهای بارگذاری (Substep) بیشتر شود، بر دقت نتایج نیز افزوده می‌شود. به همین دلیل به جای اینکه بار به طور ناگهانی اعمال شود، به تدریج و افزایشی اعمال شد تا به حد مورد نظر برسد. از طرفی اگر تعداد زیرگامهای بارگذاری زیاد شود، سرعت اجرای برنامه کم و حجم اطلاعات خروجی زیاد می‌شود. به همین دلیل سعی شده تا بارگذاری‌ها حتی المقدور در ۱۰ گام انجام شود تا نتایج از دقت مناسبی برخوردار باشند و همچنین اجرای برنامه و تحلیل

شکلی است که در نهایت به منحنی پوش می‌رسد و اگر در بارگذاری مجدد، بار همچنان ادامه پیدا کند، منحنی از پوش عبور نخواهد کرد. بنابراین برای تحلیل کافی است رفتار بتن و فولاد به برنامه داده شود و منحنی تنشن-کرنش ستون بتنه مسلح از آن استخراج شود. اما با توجه به محدودیت‌های این نرم افزار، رفتار بعد از نقطه حداکثر منحنی تنشن-کرنش به طور یکنواخت به دست نمی‌آید. فقط با باربرداری و بارگذاری مجدد می‌توان منحنی پوش را شبیه‌سازی کرد.

در این تحقیق برای بیان رفتار بتن از دو مدل تسینیمی و یانگ-اسمیت استفاده شده است. برای شاخه صعودی مدل تسینیمی و برای شاخه نزولی مدل یانگ-اسمیت به کار رفته است. علت اینکه از دو مدل استفاده شده این است که در منحنی تنشن-کرنش بتن بجز نقطه حداکثر منحنی تنشن-کرنش که نظیر f_c' است دو پارامتر مهم دیگر نیز وجود دارد و لازم است که مدل مورد استفاده، هر دو پارامتر را با دقت قابل قبولی در بر گیرد. یکی مدول ارجاعی اولیه است که در حقیقت شبیه مماس بر منحنی تنشن-کرنش در مبدأ است. بر طبق ACI این مماس، همان قسمت خطی مفروض است که مبدأ را به نقطه معادل $f_c = 45 f_c'$ بر روی منحنی متصل می‌کند. باید اضافه شود که در واقع رفتار غیرخطی بتن از مقاومت نظیر f_c (معادل ترکهای مویینه) آغاز می‌شود، اما از آنجا که ترکهای ناشی از اختلاف سختی ملات و دانه‌بندی بتن در مقاومت نظیر f_c تا $0.7 f_c$ بر روی می‌دهد، حد ناحیه خطی رفتار با کمی اختلاف نظر بین محققان در تراز مقاومتی $f_c = 45 f_c'$ تا $0.5 f_c$ منظور می‌شود. در هر حال در این تحقیق، این پارامتر با استفاده از مدل تسینیمی-که دقت بهتری نسبت به مدل یانگ-اسمیت که مقادیر بالایی را ارائه می‌کند برخوردار است- تعیین می‌شود. پارامتر دوم، نقطه عطف بعد از حداکثر تنشن است که مدل یانگ-اسمیت، این پارامتر را با دقت قابل قبولی در بر می‌گیرد. منحنی تنشن-کرنش هر یک از نمونه‌های فوق در شکل



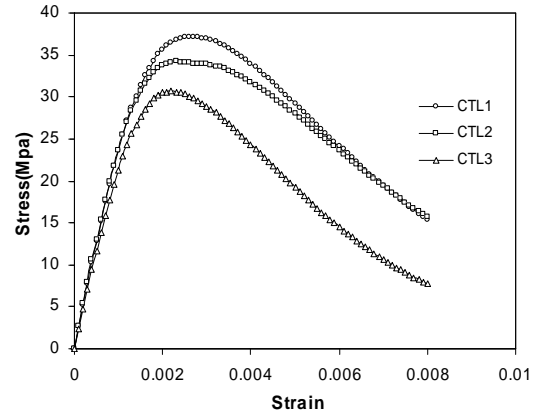
شکل ۹ بارگذاری نمونه‌های ستونی مسلح

۶- تحلیل نمونه‌ها و نتایج

کلیه مراحل در تحلیل نمونه‌ها با استفاده از دستورات ANSYS APDL که یک زبان برنامه نویسی در محیط ANSYS است انجام شده. لازم است یادآوری شود که به کمک APDL می‌توان عملیاتی را که در نرم افزار پیش‌بینی نشده، تعریف و از آنها استفاده کرد. برای آنکه بتوان در مراحل مختلف بارگذاری تناوبی (سیکلی) نتایج را ثبت کرد، در هر گام بارگذاری، نمونه تحلیل شده و هنگام باربرداری، مجدداً تحلیل می‌شود به بیان دیگر در هر حلقه بارگذاری-باربرداری، هر نمونه دو بار تحلیل می‌شود. با توجه به این که منحنی تنشن-کرنش بتنه تحت بار یکنواه، همان پوش منحنی‌های باربرداری و بارگذاری مجدد است، به همین دلیل در بررسی رفتار ستونهای بتنه تحت بار تناوبی، نقاط روی منحنی پوش به عنوان نقاط هدف در نظر گرفته شده است. به این معنا که در بارگذاری مجدد، مسیری که منحنی بارگذاری مجدد طی می‌کند به

حالت، بارگذاری آنقدر ادامه می‌باید تا به نقطه نظیر بر روی منحنی پوش برسد. در نرم‌افزار ANSYS منحنی تنش-کرنش با رسیدن به نقطه نظیر حداکثر، به خودی خود قابل برگشت نیست و نرم افزار بعد از این مرحله بدون تغییر در تنش، فقط افزایش کرنش را با تنش ثابت ارائه می‌دهد. بنا بر این با رسیدن به اولین نقطه از قلمرو رفتار غیر ارتجاعی، مشخص می‌شود که منحنی تنش-کرنش به مقدار نظیر حداکثر (در مرحله مربوط) رسیده و باید باربرداری بعدی شروع شود. به همین ترتیب برای سیکل‌های بعدی نیز عمل شده و در نهایت منحنی‌های تنش-کرنش بتن مسلح تحت بارگذاری تناوبی-که مرادف تغییرات درونی بتن (c و ϕ) است- به دست می‌آید. در جدول ۴ مقادیر تنش در ترازهای f'_c ، $0.85f'_c$ ، $0.7f'_c$ و $0.55f'_c$ در مرحله غیر ارتجاعی و همچنین مقادیر c و ϕ نظیر- که با داشتن f'_c و استفاده از رابطه (۴) محاسبه شده- ارائه شده است. شکلهای ۱۱ تا ۱۳ منحنی‌های تنش-کرنش به دست آمده از خروجی ANSYS را برای هر نمونه و نتایج آزمایشگاهی هر یک نشان می‌دهند. چنانچه از این منحنی‌ها بر می‌آید در دو نمونه CTL1 و CTL2 که از آرایش کامل میلگردی‌های عرضی برخوردار نیستند، منحنی‌های تحلیل عددی با منحنی آزمایش تطبیق کاملی ندارد اما در مورد نمونه CTL3 این تطبیق در حد خوبی به دست آمده است که علت آن را می‌توان اثر محصور شدگی بیشتر بتن و در نتیجه اثر محصور شدگی بیشتر دانست. از نکات قابل توجه در تحلیل عددی این است که در مراحل رفتار غیرارتجاعی که پس از گذر از حد جاری شدن مصالح در نظر گرفته می‌شود، کار برد معیار دراگر- پرآگر با محدودیت قابل توجهی روبرو است و در نتیجه نتایج قابل اعتمادی را نمی‌توان به دست آورد. از این رو روش ارائه شده در این تحقیق می‌تواند در رفع این کاستی، مورد ارزیابی و استفاده قرار گیرد.

۱۰ نشان داده شده است.



شکل ۱۰ منحنی تنش-کرنش نمونه استوانه ای نظیر هر یک از نمونه‌های اصلی (مدل تسینیمی + یانگ-asmیت

مرحله قبل از f'_c : (مدل تسینیمی) [۱۶]:

$$\sigma_{(\varepsilon)} = \Psi \varepsilon^4 + \eta \varepsilon^3 + E_c \cdot \varepsilon$$

$$\Psi = \frac{2E_c}{\varepsilon_0^3} - \frac{3\sigma_{amx}}{\varepsilon_0^4}$$

$$\eta = \frac{4\sigma_{max}}{\varepsilon_0^3} - \frac{3E_c}{\varepsilon_0^2}$$

مرحله بعد از f'_c : (مدل یانگ-asmیت):

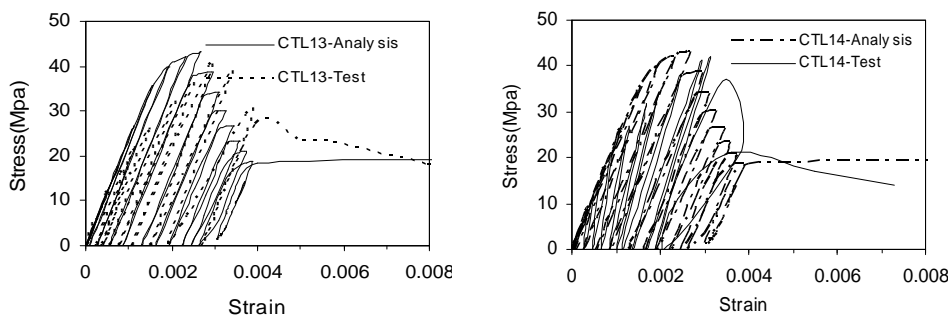
$$= \frac{\sigma(\varepsilon)}{f'_c} U$$

$$= \frac{\varepsilon}{\varepsilon_c} S$$

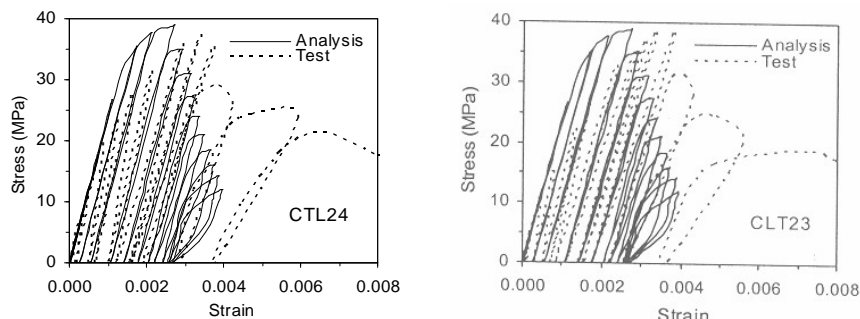
نسبت کرنش در هر لحظه به کرنش بیشینه: از روی منحنی‌های تنش-کرنش به دست آمده سه نقطه در قسمت غیر ارتجاعی (بعد از نقطه نظیر حد اکثر تنش) به عنوان نقاط هدف انتخاب می‌شود. با به دست آوردن c و ϕ ، در گامهای بعد برای مدل هر یک از نمونه‌ها، با اعمال بارگذاری‌های رفت و برگشتی تا مرحله حداکثر مقاومت، دو مقدار c و ϕ تغییری نمی‌کند. با رسیدن به این مرحله، مجدداً باربرداری شده و کرنش پلاستیک حاصل با کرنش پلاستیک نظیر در نمونه آزمایشگاهی مقایسه می‌شود. در این هنگام بارگذاری مجدد به نمونه اعمال می‌شود اما قبل از اینکه بارگذاری مجدد به نمونه اعمال شود، باید مقادیر جدید c و ϕ را که متناسب با ساختار درونی بتن تغییر می‌کنند، به برنامه وارد کرد. در این

جدول ۴ نقاط هدف در نمونه های CTL1، CTL2 و CTL3 بر روی منحنی پوش

ϕ (Deg)	C (MPa)	ϕ (Deg)	C (MPa)	ϕ (Deg)	C (MPa)	ϕ (Deg)	C (MPa)	نمونه
$0.55f'_c$		$0.7f'_c$		$0.85f'_c$		f'_c		
۵۲/۷۴	۲/۹۳	۵۳/۶۳	۳/۵۹	۵۴/۵۳	۴/۲۴	۵۵/۴۲	۴/۹۰	CTL۱
۵۲/۴۳	۲/۷۰	۵۳/۲۳	۳/۲۹	۵۴/۰۴	۳/۸۹	۵۴/۸۴	۴/۴۸	CTL۲
۵۲/۵۰	۲/۷۵	۵۳/۳۲	۳/۳۶	۵۴/۱۵	۳/۹۷	۵۴/۹۷	۴/۵۷	CTL۳



شکل ۱۱ منحنی تنش-کرنش بدست آمده از تحلیل عددی و آزمایش-نمونه CTL1 تحت بار تناوبی

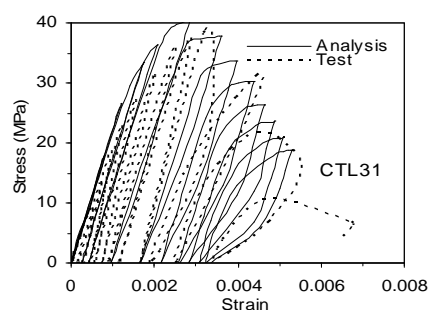


شکل ۱۲ منحنی تنش-کرنش بدست آمده از تحلیل عددی و آزمایش-نمونه CTL2 تحت بار تناوبی

آمده از آزمایش، موارد زیر برای استفاده در مدل رفتاری بتن مسلح قابل استنتاج است.

۱- در تحلیل غیرخطی و تناوبی اعضای بتن مسلح تحت فشار، می‌توان عوامل C و ϕ را از طریق تحلیل عددی نمونه استوانه‌ای تحت بار محوری به دست آورد.

۲- در مرحله ارجاعی و ارجاعی-خمیری تا رسیدن به تنش حداکثر، سختی منحنی باربرداری و بارگذاری مجدد می‌تواند برابر با سختی مماسی یا در مرحله ارجاعی سختی وتری متناظر با $0.45\sigma_{max}$ در نظر گرفته شود. به عبارت دیگر در مراحل الاستیک و الاستوپلاستیک، C و ϕ



شکل ۱۳ منحنی تنش-کرنش بدست آمده از تحلیل عددی و آزمایش-نمونه CTL3 تحت بار تناوبی

۷- نتیجه‌گیری

با توجه به تحلیلهای انجام شده و مقایسه با نتایج بدست

- [7] Claeson, C., "Finite Element Analysis of Confined Concrete Columns", Division of Concrete Structures, Chalmers University of Technology, Sweden, S-412 96, 2000, 20 pp.
- [8] Madas, P., Elnashai, A.S., "A New Passive Confinement Model for Analysis of Concrete Structures Subjected to Cyclic and Transient Dynamic Loading", Earthquake Eng. And Str. Dynamics, Vol. 21, No. 5, May 1992, pp. 409-431.
- [9] ANSYS Release 5.4, Help.

[10] آیین نامه بتن ایران (آبآ)، سازمان مدیریت و برنامه ریزی، مرکز مدارک اقتصادی- اجتماعی و انتشارات، ۱۳۷۷.

[11] تسنیمی، عباسعلی، "مدل رفتاری اعضای بتنی تحت بارهای فشاری تناوبی"، کمیته ملی کاوش اثرات بلایای طبیعی، ۱۳۸۰.

[12] ACI Committee 318, Building Code Requirements for Reinforced Concrete and Commentary, (ACI 318-02/ACI 318R-02) American Concrete Institute, Detroit, MI. 2002.

[13] CEB, Model Code for Seismic Design of Concrete Structures, Bull. d'Inf. CEB, 165, 1985Paris.

[14] Cheong, H.K. & Macalevey, N., "Experimental Behavior of Jacketed Reinforced Concrete Beams", Journal of Structural Engineering, June 2000, pp.692-699.

[15] فرزین، مجید، "تعیین مدل رفتار غیر ارجاعی- رزهای اعضای فشاری قابهای بتنی مسلح" پایان نامه کاشناسی ارشد، سازه، دانشگاه تربیت مدرس، ۱۳۸۱.

[16] Tasnimi, A.A., "Strength and Deformation of Mid-Rise Shear Walls under Load Reversal", Engineering Structures, Vol 22, 2000, pp.313-322.

[17] Kwon, M. & Spacone, E., "Three-Dimensional Finite Element Analyses of Reinforced Concrete Columns", Computers and Structures 80 (2002), pp.199-212.

هردو ثابت است.

۳- در قلمرو پلاستیک در هر مرحله از باربرداری c و ϕ برابر با c و ϕ مرحله بارگذاری قبلی است و در هر مرحله از بارگذاری مجدد c و ϕ متناسب با تغییرات ساختار درونی بتن، تغییر می‌کند و رابطه (۴) برای به دست آوردن c و ϕ در نام مراحل رفتاری نتایج قابل قبولی را به دست می‌دهد.

۴- در قلمرو پلاستیک و در هر مرحله از بارگذاری مجدد می‌توان از منحنی تنش-کرنش بتن به عنوان حد منحنی رفتاری استفاده کرد.

-منابع-

- [1] Mander, J.B., Priestley, M.J.N. & Park,R., "Theoretical Stress-Strain Model for Confined Concrete", Journal of Structural Engineering, American Society Civil Engineers, Vol.114, No.8 August 1988, pp.1804-1826.
- [2] Sheikh, S.A. & Uzumeri, S.M., "Analytical Model for Concrete Confinement in Tied Columns", The Journal of the Structural Division, Proceedings of the American Society of Civil Engineers, Vol.108, No.ST.12 December, 1982, pp.2703-2722.
- [3] Sakai, J. & Kawashima, K., "An Unloading and Reloading Stress-Strain Model for Concrete Confined by tie reinforcements", 12WCEE, 2000, pp.1431.1-8.
- [4] Yanklevsky, D.Z. & Reinhardt, H.W., "Model for cyclic Compressive Behavior of Concrete", Journal of Structural Engineering, ASCE, 1987, Vol 113, pp.228-240.
- [5] Bhan, B.Y. & Hsu, C.T., "Stress-Strain Behavior of Concrete under Cyclic Loading", ACI Materials Journal, March-Aprill, 1998, pp.178-193.
- [6] Yaclin, C. & Saatcioglu, M., "Inelastic Analysis of Reinforced Concrete Columns", Computers and Structures 77 (2000), pp.539-555.